。论 著。

# 

陈曦<sup>1</sup>,汤乃军<sup>1\*</sup>,马世伟<sup>2</sup>,马晓明<sup>1</sup>,赵力军<sup>1</sup>,刘静<sup>3</sup>,张春梅<sup>4</sup>

(1 天津医科大学公共卫生学院劳动卫生教研室,天津 300070, 2 中国铁道科学研究院节能环控劳卫研究所,北京 100081, 3 天津市疾病预防控制中心,天津 300011, 4 天津市和平区卫生防病站,天津 300070)

关键词: 2 3 7 8 四氯二苯并二 惩英; 血清蛋白组学; 基质辅助激光解吸飞行时间串联质谱; 双向电泳中图分类号: R994.6 文献标识码: A 文章编号: 1002-221 X(2009) 03-0163-05

Effect of chronic low-dose exposure of dioxin on serum proteins in famale SD rats

CHEN XI, TANG Nai jurl\*, MA Shi-wei, MA Xiaom ing, ZHAO Li jurl, LIU Jing, ZHANG Chunm ei

(1. Department of Occupationa | Health School of Public Health Tianjin Medical University Tianjin 300070 China, 2 Chinese Academy of Railway Sciences Beijing 100081 China, 3 Tianjin Municipal Center for Disease Control and Pievention Tianjin 300011 China, 4 CDC of Heping District in Tianjin 7 Janjin 300070 China)

Abstract Objective To explore the changes of serum proteins of female SD rats induced by chronic exposure to low doses of 2 3 7 8-retrach prodibenzo P dioxin (TCDD), thereby make a further explanation on the toxic effect of TCDD. Methods Thirty two female Sprague Dawley rats were randomly divided into four groups, and gave intragastric administration with 0 ng/ (kg. d), 20 ng/ (kg. d), 50 ng/ (kg. d), 125 ng/ (kg. d) of TCDD respectively for 29 weeks. The serum proteins were studied using two dimensional gelelectrophores is and MALD LTOFMS (matrix assisted laser desorption/ ionization time of flight mass spectrometry), and the hepatic histopathological changes were also observed. Results The up-regulated proteins in serum of TCDD exposed rats were complement component pre-apolipoprotein A-IV and LMW. T-k ininogen 1 precursor, happoplybin and complement component 3 could be found only in that of TCDD treated rats, and the alpha-1-inh bitorIII precursor was only present in that of the control rats. The hepatic pathological observation showed ad pose degeneration, cytoplasmic vacuolization, hepatocytic necrosis etc. and was dose dependent. Conclusions The results suggested that the chronic exposure of low dose TCDD can induce the changes of serum proteins spectrum should be helpful in the study of the toxicity of TCDD.

Key words TCDD (2 3 7 8-tetrachlorod benzo.p.d ixin), Serum Proteomics MALDITOF-MS/MS (matrix assisted laser desorption) ionization time of flight mass spectrometry. Two.d imensional gelelectrophores is (2-D GE)

二噁英包括多氯二苯并二噁英 (PCDDs) 和多 氯二苯并呋喃 (PCDFs) 其中 2 3 7,8四氯二苯并 二噁英被认为是危害最大毒性最强的化合物[12]。二 感英类物质的来源主要为城市垃圾或工业废弃物的焚烧、含氯化学品及农药生产过程中的工业副产物、造纸工业的氯气漂白过程,还存在于其他一些排放源,如燃煤电站、金属冶炼等。

TCDD和其它二噁英类物质具有广谱的生物效应,包括引起所谓的"衰竭综合征",具有肝毒性、免疫毒性、致癌性,可以引起生殖内分泌的改变等;同时,会引起过氧化反应和活性氧化合物的增加。芳

收稿日期: 2009-04-06

基金项目: 国家自然科学基金资助 (30671725)

作者简介:陈曦 (1982— ) 女 硕士研究生,研究方向为工业 毒理学

<sup>\*:</sup>通讯作者,教授,博士生导师,主要研究方向为工业毒理学

和环境流行病学,E-mail tangnajum@ timu edu cn ?1994-2017 China Academic Journal Electronic Publishing House. All rights reserved. http://www.cnki.net

香烃受体介导理论被认为是二噁英毒性作用的主要机制。 芳香 烃 受 体 (arcmatic hydrocarbon receptor, AhR)是一种配体依赖性转录因子,二噁英被认为是一种芳香烃受体的激活剂。当 TCDD进入细胞后,与胞浆中的 AhR结合并使之激活,随后 TCDD-AhR配体受体复合物由细胞浆转移至细胞核内,并与芳香烃受体核转运蛋白 (ARNT)聚合形成新的复合物 TC-DD-AhR-ARNT、之后与 DNA上特异的基因序列结合[3],从而引起下游一系列基因的转录[4]和蛋白表达的改变[5]。

一些研究已经证明慢性低剂量暴露于 TCDD所产生的效应与急性暴露是不同的,且低剂量暴露是接触 TCDD的主要方式。例如,低剂量慢性染毒大鼠比一次性染毒 6倍剂量的大鼠更早的出现生殖衰老<sup>16</sup>;一次性高剂量的 TCDD仅能够使 AhR通路快速饱和,而低剂量慢性暴露可以持续地刺激 AhR基因池<sup>17</sup>等。但是,低剂量 TCDD对于人类和动物的影响尚不明确,需要进一步探讨。

为研究低剂量暴露于 TCDD的慢性效应, 本实验对大鼠染毒 29周, 采用双向凝胶电泳 质谱 生物信息学检索的分析方法对大鼠血清进行蛋白组学研究,寻找差异蛋白点,并对其肝脏进行组织病理学检测。

#### 1 材料与方法

#### 1.1 试剂与仪器

ProteoExtractIM高丰度蛋白去除试剂盒(德国Merck公司),IPG预制胶条、考马斯亮蓝 R-250染色试剂盒(美国 Bio\_Rad公司)。等电聚焦仪(IPG-phor Isoelectric Focusing System,美国 Pharmacia公司),聚丙烯酰胺凝胶电泳仪(Protean II Xicell美国 Bio\_Rad公司),凝胶成像系统(Powerlook 2100 XL 美国 UMAX公司),飞行时间质谱仪(MAID L/TOF/TOF 4700 Proteomics Analyzer,美国 AB公司)。TCDD粉末(lot no. ER011005-01)(美国 CIL)溶于分析纯丙酮试剂,配成丙酮溶液储存,每次染毒时将此丙酮溶液用玉米油按一定的浓度梯度加以稀释。

#### 1.2 实验动物分组及处理

6周龄纯系雌性 SP rague. Dawle 大鼠 32只,购自中国人民解放军军事医学科学院实验动物中心,许可证号 SCXK-(军) 2002 001。实验动物饲养于清洁级动物房,温度  $(21\pm1)^{\circ}C$ ,相对湿度  $(50\pm10)^{\circ}$ 6,12 时暗循环,可自由摄取食物和水。将雌性大鼠随机分为 125  $ng/(kg^{\circ})$ 6 0、50  $ng/(kg^{\circ})$ 6 d)和 20  $ng/(kg^{\circ})$ 6 d)3个染毒组和 1个对照组 每周灌胃 1次.

染毒浓度分别为 875 ng/kg 350 ng/kg 140 ng/kg 0 ng/kg 染毒前对大鼠进行称重,按体重给予相应的 TCDD溶液,对照组仅给予玉米油。 29周后股动脉放血处死,收集分离血清,保存于液氮中以备后续分析。摘取动物肝脏,称重后置于 4%中性甲醛溶液中固定 24 h 常规方法制作石蜡切片,苏木素伊红(HE)染色后观察肝脏组织形态学改变。

#### 1.3 血清蛋白组学

1. 3. 1 血清样品制备 使用 ProtecExtractIM高丰度蛋白去除试剂盒去除血清中的白蛋白 / IG 实验操作依据试剂盒说明书进行,去除高丰度蛋白后对样品进行浓缩处理,并采用 Brad Prik进行蛋白定量。

1.3.2 第一向等电聚焦 (EF) PG预制胶条 (18 cm PH 3~10), 泡胀 12 h (溶胀缓冲液: 8 mol/尿素, 2 mol/L硫脲, 0.5% CHAP\$ 0.52%两性电解质, 0.02%溴酚蓝, 1% DTT), 将胶条取出放入聚焦槽内,加入矿物油至没过上样杯,上样量为 1 mg 并用溶胀缓冲液稀释至 170 μ l 程序设定为: Si (0~500 V 0.5 kV-hr), Si (500~3 500 V 10 kV-hr), Si (3 500 V 42 kV-hr), 至总电压时间积为 55 kV-h

1.3.3 第二向聚丙烯酰胺凝胶电泳 (SDS PAGE) 先将胶条放入平衡缓冲液 I (50 mmol/L Tris HCl PH6.8 6mol/L 尿素, 30%甘油, 2% SDS 2% DTT 0.02%溴酚蓝 )水平振荡 15 m 中 再将胶条转入平衡缓冲液 II (50 mmol/L Tris HCl PH6.8 6mol/L素尿, 30%甘油, 2% SDS 2.5% AA 0.02%溴酚蓝 )水平振荡 15 m 中 第二次平衡结束后,将 IPG胶条放到已配好的 SDS PAGE凝胶上端,并将 marker放到凝胶的一端,再用 0.5%的琼脂糖将胶条和 marker封严,将胶板固定于电泳槽内。在电泳槽加入电泳缓冲液后接通电源,待溴酚蓝指示剂达到底部边缘时即可停止电泳。电泳结束后,取出凝胶,进行染色。

#### 1.3.4 考马斯亮蓝染色和脱色

1. 3. 5 MAID I TOF串联质谱检测 应用 PDQues软件进行胶图比对,将表达量改变 2倍及 2倍以上的点作为差异蛋白点,从胶内切去,去离子水洗涤,胰蛋白酶消化 37  $^{\circ}$ C过夜。应用 MALDI TOF MS/MS法进行质谱分析,质量范围 700  $^{\circ}$ 4 000  $^{\circ}$ 7 最小信噪比50、解离碰撞能量 1-keV 捕获次数 1 500、经 NCB I 数据库检索,最终确定蛋白质。

#### 1.4 统计学分析

随机分为 125 ng/( kg° d)、50 ng/( kg° d)和 20 ng/ 应用 SPSS 13. 0软件,体重及脏器系数比较采用 ( kg° d) 3 个染毒组和 1 个对照组。每周灌胃 1 次, 方差分析,之后进行 Student Newman K eu k 验,检 21994-2017 China Academic Tournal Electronic Publishing House. All rights reserved. http://www.cnki.net

验水准为 0.05, 肝脏损伤等级资料的比较采用 H检验, 两两比较调整检验水准为 0.05/6 (4组共比较 6次) 约为 0.008.

#### 2 结果

#### 2.1 肝脏重量和体重

TCDD染毒前,各组体重差别不具有统计学意

义,29周后,125 ng/(kg·d)组与对照组相比体重较低,差别具有统计学意义,同时,该组肝脏的绝对重量与对照组相比增加,差别具有统计学意义;3 个染毒组肝脏的脏器系数与对照组相比增加,差别均具有统计学意义,见表 1。

表 1 大鼠体重、肝脏重量、肝脏脏器系数

染毒剂量	6周龄体重 ( 🖇	<b>处理时体重</b> ( <sup>g</sup> )	肝脏重量 (g)	脏器系数 (%)
对照组	216. 88 $\pm$ 13. 87	$384.00\pm33.54$	8. 150 ±1. 149	2. 140±0. 318
$20~^{ng}\!/(~kg_{\circ}~^{}d)$	220. 71 ±24. 23	$365.43\pm24.86$	8. 777 $\pm$ 1. 116	3. 629 $\pm$ 0. 376 $^*$
$50 \text{ ng/(kg} \cdot \text{d)}$	212 50 $\pm$ 12 54	359. 13±29. 46	9. 312 ±0. 832	3. 648 $\pm$ 0. 233 $^*$
$125 \text{ ng(} \text{kg}_{\circ} \text{ d)}$	212. 50±10. 34	337. 44 $\pm$ 29. 33 $^{*}$	9. 934 $\pm$ 1. 336 $^*$	3. 454±0. 439*

与对照组相比, \* P<0.05

#### 2.2 肝脏的组织病理学

对照组动物的肝脏未见损害。染毒组大鼠出现肝细胞的脂肪变性、空泡形成、肝细胞坏死等改变,并且随染毒剂量的增加,肝损害严重程度增加,见图 1(封三),针 对脂 肪 变 性和 肝 细 胞 坏死,125 120 12

表 2 肝脏组织形态学

染毒剂量 -	平均秩次		
宋母剂里 -	脂肪变性	肝细胞坏死	
对照组	6. 50	9. 50	
20 ng/( kg° d)	8. 27	11. 54	
50 ng/( kg° d)	15. 31 * <sup>△</sup>	20. 39* <sup>△</sup>	
125 ng/( kg° d)	17. 52 * <sup>^</sup>	21. 47* $^{\wedge}$	

与对照组相比,\* P<0.008 与 20 ng/( kg d)组相比,△ P<0.008

#### 2.3 双向凝胶电泳

对照组获得 188个点, 20 ng/(kg) d组获得 141

个点,50 ng/(kg°d)组获得 134 个点,125 ng/(kg°d)组获得 148 个点,四组的双向凝胶电泳图见图 2 (封三)。应用 PDQues软件,进行各点的匹配、标准化和表达量比较,选择其中 6个点做进一步的分析,选择依据为此 6个蛋白点在染毒组和对照组中具有 2倍以上的改变。

#### 2.4 MALDITOF/TOF和蛋白质的确定

6种蛋白质的等电点、分子量、编号、覆盖率等参数见表 3. 上调的蛋白包括补体 C4 (complement component 4. C4), 载脂蛋白 A-IV 前体 (preaploid poprotein A-IV) 和低分子量的激肽原前体 (IMW Takininogen 1 precursor), 触珠蛋白 (haptoglobin HP) 和补体 C3 (complement component 3. C3)两种蛋白仅在染毒组大鼠的凝胶中有点被识别出,而对照组未见该点,而 α 抑制因子 III前体只在对照组的胶上被识别出。

表 3 差异蛋白点的质谱分析

NCB 蛋白编号	蛋白鉴定结果	实验等点电和分子量 (kDa)	理论等点电和分子量 ( kDa)	序列覆盖率
上调				
AAN72415	complement component C4	6. 99/192. 04	6. 99/192. 16	$8^{0}/_{0}$
AAA40747	pre apolipoprote in A-IV	5. 12/44. 43	5. 12/44. 45	29%
AAA41489	IMW T-kininogen 1 precursor	6. 29/47. 67	6. 29/47. 70	16%
仅见于染毒组				
AAH89816	haptoglob in	6. 10/38. 54	6. 10/38. 56	23%
AAA40837	complement component C3	5. 73/31. 84	5. 73/31. 86	34%
仅见于对照组				
AAA40628	alpha-1-inhibitor∭ precursor	5. 70/163. 67	5. 70/163.77	27%

#### 3 讨论

蛋白组学的方法可以对蛋白表达谱进行"全景式"描述,可以检测由于 TCDD等毒性物质的暴露而引起的一系列蛋白表达的改变<sup>189</sup>。 Son等学者认为某些表达改变的蛋白可以作为二%英暴露的生物标志

物,并且有助于进一步研究二感英的毒性机制<sup>[10 11]</sup>。 本研究应用蛋白组学方法分析 TCDD染毒雌性 SD大鼠 的血清蛋白改变,同时进行肝脏的组织病理学检测。

在人类和动物中都已经证明肝脏是 TCDD的主要 靶器官,慢性 TCDD杂毒可以引发实验动物肝脏肿瘤

的形成[12],并且雌性大鼠较雄性大鼠的肝脏更容易 受到 TCDD的损害[13], 肝脏的湿重作为最终体重的 组成部分,被认为是肝毒性表现的主要指标之一[14]。 与既往在大鼠和小鼠中的研究相同[15 16], 本研究中 染毒组大鼠肝脏的绝对和相对重量增加,有学者推测 这种改变可能是由于 TCDD引起肝脏肿大[17] 而造成 的。同时, 染毒组肝脏出现一系列损害, 包括细胞质 空泡形成、脂肪变性、肝细胞坏死等改变,并且这种 改变随着染毒剂量的增加而变得严重。

本研究目的是探寻 TCDD引起的血清蛋白改变, 其中上调的蛋白包括补体 (4. 载脂蛋白 A-IV前体和 低分子量的激肽原前体,而触珠蛋白和补体 〇 仅在 染毒组大鼠的凝胶上有点被识别出, 而对照组未见; α 抑制因子 Ⅲ前体只在对照组的凝胶上被识别出。鉴 于 HP和 C3都是较为常见的蛋白质,因此我们推测 并不是在对照组中该蛋白不存在,而是由于相对密度 较低, PDQues软件无法识别出。

在我们的研究中,由于 TCDD的暴露, 补体 (3) 和 (4均随染毒剂量的增高而上调。 (3和 (4是免疫 系统的重要组成部分,前期 TCDD对于补体系统的影 响结论不一。14 d龄的小鼠亚慢性暴露于 TCDD后引 起总溶血补体 (CH50)的减少和抗原 [3]水平的降 低[18]。 C57 BL/6小鼠经 TCDD染毒,其子代肾小球 可见升高的免疫球蛋白和 🔾 19 。在汽车尾气检测工 人和垃圾焚烧工人血清蛋白组学研究中, 可见 (4蛋 白的表达升高[5]。有学者推测这些结论的不统一在 于蛋白水平的改变往往与免疫活性的改变不同步[20], 因此,TCDD对于免疫成分的影响需要进一步研究。

触珠蛋白 (HP) 是一种涉及炎症和感染的反应 蛋白,由肝脏合成。 并印和游离的氧和血红蛋白结合, 形成具有过氧化酶活性的物质,具有抗氧化的特 性[2],有证据表明由于氧化应激和一些氮氧化物的 作用会使该蛋白在动脉中表达上调[22]。外源性化合 物,如 TCDD 2,3,4,7,8五氯二苯并呋喃 (PeCDF) 和多氯联苯 (PCB) 慢性染毒会引发大鼠的氧化应激 反应,其中 TCDD具有最高的效力<sup>[23]</sup>。本研究中 HP 随染毒剂量的增加而上调,与 TCDD的氧化应激作用 相符合,也就是说,虽然染毒组大鼠肝脏损伤,该蛋 白的合成可能会受到一定程度的影响, 但是, 推测肝 损伤未达到使 HP下降的严重程度 [24], TCDD氧化应 激效应更为明显,该蛋白在血清中增高而发挥其保护 作用。

TCDD染毒组中出现低分子量激肽原前体上调的

甲基胆蒽 (3-MC) 的毒性研究中曾报道过该蛋白的 改变,3-MC和 TCDD具有相似的毒性机制,都依赖 AhR的介导发挥毒性作用。对于小鼠进行 3-MC急性 染毒、在染毒后出现该低分子量激肽原前体的迅速缺 失[25]。而本研究中该蛋白前体表达增高,推测是由 于低剂量慢性暴露,与前述 3-MC的染毒方式有所不 同,该蛋白可能抑制后恢复并发挥代偿作用。

综上,慢性低剂量的 TCDD染毒使得血清的蛋白 谱发生改变,通过分析与 TCDD毒性相关的几种蛋白 质,为 TCDD的免疫毒性、肝毒性、氧化应激等效应 提供了佐证和进一步研究的基础。 参考文献.

- [1] Zodnow JM, JJ Stegeman, RL Tanguay, Histological analysis of acute toxicity of 2 3 7 8-tetrach lorodibenzo-p-dioxin (TCDD) in ze. brafish [ ]. A quat Tox ico, 1 2004, 66 25-38
- [2] Yoon CY Park M Kim BH et al Gene expression profile by 2,3,7,8-tetrach lorodibenzo\_p\_dioxin in the liver of wild-type (AhR+/ +) and ary] hydrocarbon receptor deficient (AhR-/-) mice [J. J VetMed Sci 2006 68 663-668
- [3] Panteleyev A. A. Bickers D. R. Dioxin. induced chloracne reconstruc ting the cellular and molecular mechanisms of a classic environmental disease [ J. Exp Dermatol 2006 15: 705-730
- [4] Tang N J Liu J Coenraads P J et al Expression of AhR CYP1A1 GSTAL c for and TGF-alpha in skin lesions from dioxin exposed humans with chloracne [ J]. Toxicol Lett 2008 177. 182-187.
- [5] Kin M K, Oh S, Lee J H, et al. Evaluation of biological monitoring markers using genomic and proteomic analysis for automobile emission inspectors and waste incinerating workers exposed to polycyclic aromatic hydrocathons or 2, 3, 7, 8-tetrach lorodibenzo-p-dioxins [ J]. Exp Mol Med 2004 36 396-410
- [6] Franczak A. Nynca A. Valdez K.E. et al. Effects of acute and chro. nic exposure to the and hydrocarbon receptor agonist 2 3 7 8-tetra. chlorodibenzo. Padjoxin on the transition to reproductive senescence in female Sprague\_Dawley rats [ J]. Biol Reprod 2006 74
- Goldstein JA P Linko H Bergman Induction of porphyria in the rat by chronic versus acute exposure to 2,3,7,8 - tetrachlorodibenzo\_p\_ dioxin [ J. Biochem Pharmaco, 1982 31 1607-1613.
- Conrad D.H. J.Govette Thomas P.S. Proteomics as a method for ear ly detection of cancer a review of proteomics exhaled breath conden. sate, and Jung cancer screening [ J. J Gen Intern Med 2008 23 Suppl 1 78-84
- $J\!o\!o\!W$   $A\!\!\!/$   $K\!\!\!/ ang M$  J  $S\!\!\!/ onW$   $K\!\!\!/$  et a.] Monitoring protein expression by proteomics human plasma exposed to benzene [ ]. Proteomics 2003 3 2402-2411
- [10] Son W K, Lee D Y, Lee S H, etal Analysis of proteins expressed in rat plasma exposed to diox in using  $_2$  -dimensional gel electrophores is [ J]. Proteom ics 2003 3: 2393-2401

结果,类似结果在 TCDD的研究中尚未见到,但在 3- [11] Ohbayashi H. Sasaki T. Matsumo to M. et al. Dose and time de ?1994-2017 China Academic Journal Electronic Publishing House. All rights reserved. http://www.cnki.net

- pendent effects of 2 3 7, 8-tetrabromodibenzo. Pdioxin on rat liver [ J]. J Toxicol Sçi 2007 32 47-56
- [12] Kurachi M. Hashimoto S. Obata A. et al. Identification of 2 3 7  $g_-$ te tra c'h lo rodi ben zo. p $_{\rm d}$  jox jn. re spons jve genes  $\,$  jn mouse  $\,$  live r by serial analysis of gene expression [ ]. Biochem Biophys Res Commun 2002 292 368-377.
- [13] WalkerN J TritscherA M Sills R C et al Hepatocarcinogenesis in female Sprague. Dawley rats following discontinuous treatment with 2 3 7 8-te trach lorod ibenzo p-d joxin [ ]. Toxicol Sçi 2000 54
- [14] Cattley R.C. D. S.Marsman, J.A. Popp. Age related susceptibility to the carcinogenic effect of the peroxisome proliferator WY-14-643 in rat live [ J. Carcinogenesis 1991, 12 469-473
- [15] Boverhof D R, Burgoon L D, Tashiro C, et al Comparative toxicog. enomic analysis of the hepatotoxic effects of TCDD in Sprague Dawley rats and C57BL/6 mice J. Toxicol Sci 2006 94: 398-416.
- Van Bigelen A P, Van der Kolk J Fase KM, et al Subchionic dose. [ 16] response study of 2, 3, 7, 8 - tetrach lorod ibenzo p-d joxin in fema le Spra. gue Dawley rats J. Toxicol Appl Pharmacol 1995 132: 1-13
- [17] Lee S H, Lee D Y, SonW K, et al. Proteomic characterization of rat liver exposed to 2 3 7, 8 - te trach lored ibenzo p diox in [ ]. JPro teom e Res 2005 4 335-343
- [18] White KL Jr Lysy HH, McCay JA, et al Modulation of serum complement levels following exposure to polychlorinated dibenzo\_p\_ dioxins [ ]. Toxicol Appl Pharmaco, 1 1986 84 209-219

- [ 19] Mustafa A. An enhanced postnatal auto immune profile in  $_{24}$  week-old C57BL/6 m ice developmentally exposed to TCDD [ ]. Toxico [App] Pharmaco, 2008 232, 51-59
- [20] Wagner E, Frank M M, Sm ja jow jez R J 2 3 7 8-te trach jo rodibenzo.p-djoxin and natural immunity lack of an effect on the complement system in a guinea pig model [ J]. Toxicology 2001 159 107-113
- [21] Asleh R. A P Levy. In vivo and in vitro studies establishing hap to globin as a major susceptibility gene for diabetic vascular disease [J]. Vasc Health Risk Manag 2005 1: 19-28.
- [22] Smeets MB, Pasterkam PG, Lin SK, et al Nitric oxide synthesis is involved in arterial haptoglob in expression after sustained flow chan. ges [ J. FEBS Lett 2002 529: 221-224.
- [23] Hassoun E A, Wang H, Abushaban A, et al Induction of oxida. tive stress in the tissues of rats after chronic exposure to TCDD 2,3,4,7,8-pentach brodibenzofuran and 3,3',4,4',5-pentach bro biPhenyl J. J Toxico | Environ Health A 2002 65 825-842
- [24] Kudo Y. Ochi T. Shimada H. et al. Utility of plasma circulating mRNA as a marker to detect hepatic in jury [ ]. JVet Med Sçi 2008 70, 993-995.
- [25] NukayaM, TakahashiY, Gonzalez F, Jeta Aryl hydrocarbon re. ceptormediated suppression of expression of the low\_molecular.weight prekininogen gene in mice [ J]. Bjochem Bjophys Res Commun, 2001 287: 301-304.

### ·短篇报道 ·

确诊之日 (X线胸片投照日期)起至死亡前的病程 (生存 期), 最短 0.5年, 最长 26年, 平均 6.56年。小于 5年者占 36.3%, 大于 20年者约占 2%。说明矽肺患者的病程短、死 亡快、病死率高,人均寿命相对缩短。

本次调查还发现。随着病情的进展。其直接致死率逐渐 上升,经显著性检验,I、II、III期之间差异有统计学意义 (尺 0.01); 间接致死率随着病期的进展呈下降趋势, 各期之 间差异也有统计学意义 ( P< 0.01)。 表明随着病期的增加 合并症与并发症的增多, 肺纤维化程度的加重, 使肺通气量 减少,呼吸受阻,从而直接促进了矽肺病人的死亡。详见 表 1。

表 1 矽肺期别与死亡的关系

期别	死亡例数 一	直接死亡		间接死亡	
		例数	%	例数	9/0
I期	124	54	43. 54	70	56. 45
Ⅱ期	240	171	71. 25	69	29. 73
III期	137	126	91. 97	11	8. 03
合计	501	351	70. 06	150	29. 94

通过对 501 例矽肺病例的死亡与矽肺期别、工龄、工种、 死亡年龄、生存期之间的关系分析,对矽肺期别、接尘工龄、 工种对矽肺患者平均寿命的影响有了进一步了解。提示对矽 肺患者采取定期监督管理,长期健康监护等措施,是防止病

# 501例矽肺死因与病期分析

赵军

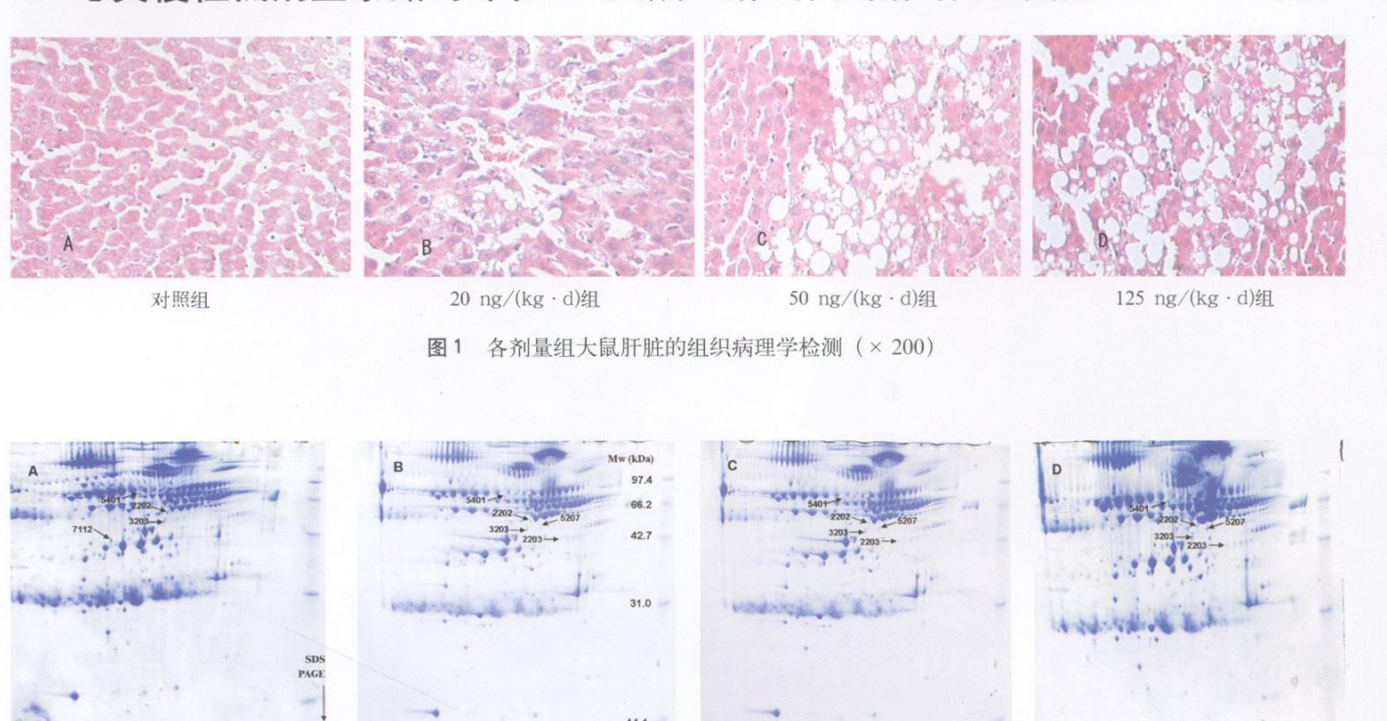
(宣化钢铁公司职工医院,河北 张家口 075100)

为了解矽肺病人的死亡规律,加强现患者的管理,我们 对本区 1998~2008 年间的 501例 "矽肺病例死亡卡", 均按 全国矽肺流调的统一要求填写,并分别对总的和各期矽肺死 亡病例的平均年龄、平均工龄、生存期进行分析。

本次调查发现, 矽肺死亡最小年龄 30岁, 最大 92岁; 接尘 工龄最短 2 33年, 最长 51.83年。各期矽肺死亡年龄、Ⅱ、Ⅲ期 间差异无统计学意义 (Р>0.05) 接尘工龄,仅Ⅱ期与Ⅲ期差异 有统计学意义 ( ≥ 0 01)。说明矽肺的发病与接触生产粉尘的时 间有关。矽肺病人的平均年龄低于一般人群平均寿命 (71岁) 可见肺组织纤维化是引起病人过早死亡的原因之一。

本组病例的工种分布为硫铁矿采矿工 127例 (占 25.35% ) 石工 58例 (占 11.58%) 煤矿采煤工 107例 (占 20.76% 》 主掘进工 77例 (占 15.37%) 纯掘进工 39例 (占 7.78%), 其他 45例 (占 9.98%)。硫铁矿采矿工发生率 最高,其次是煤矿采煤工,符合本区基本情况。本组病例从

### 二·恶英慢性低剂量暴露对雌性 SD 大鼠血清蛋白的影响(正文见 163~167 页)



Mw:分子量; SDS PAGE:十二烷基硫酸钠聚丙烯酰胺凝胶电泳

50 ng/(kg·d)组

125 ng/(kg·d)组

图 2 四组双向凝胶电泳图(考马斯亮蓝染色)

20 ng/(kg·d)组

## 鱼藤酮对星形胶质细胞缝隙连接耦联功能的影响(正文见168~170页)

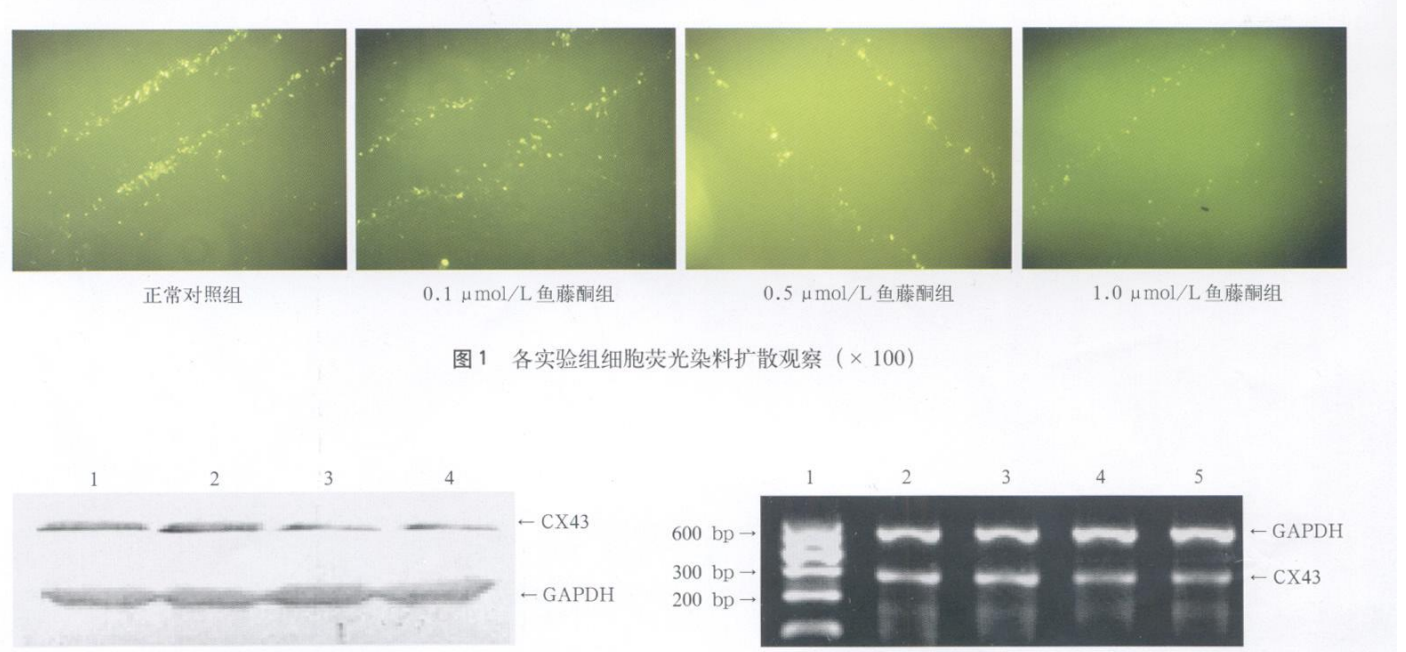


图 2 鱼藤酮对星形胶质细胞 CX43 蛋白表达的影响

3: 0.5 μ mol/L 鱼藤酮组; 4: 1.0 μmol/L 鱼藤酮组

1: 正常对照组; 2: 0.1 μmol/L 鱼藤酮组;

对照组

图 3 鱼藤酮对星形胶质细胞 CX43 mRNA 表达的影响 House All rights reserved http://www.cnki.net

Marker, 2: 正常对照组; 3: 0.1 μmol/L 鱼藤酮组;
0.5 μmol/L 鱼藤酮组; 5: 1.0 μmol/L 鱼藤酮组

?1994-2017 China Academic Journal Electronic Publishing House. All rights reserved. http://www.cnki.net